

$\alpha_{i \rightarrow j}$  = matice pravděpodobnostního rozdělení zkušebních posunutí

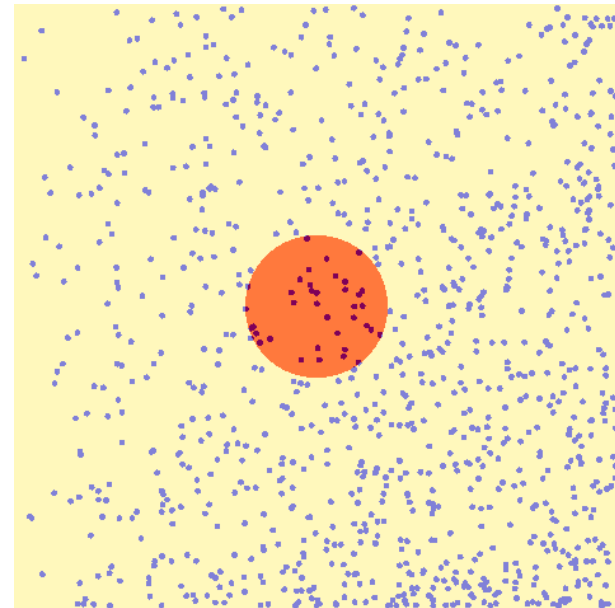
Metropolis:  $\alpha_{i \rightarrow j} = \alpha_{j \rightarrow i}$

Co když ale  $\alpha_{i \rightarrow j} \neq \alpha_{j \rightarrow i}$ ?

$$W_{i \rightarrow j} = \begin{cases} \alpha_{i \rightarrow j} & \text{je-li } \pi_j \alpha_{j \rightarrow i} \geq \pi_i \alpha_{i \rightarrow j} \\ \alpha_{i \rightarrow j} \frac{\pi_j \alpha_{j \rightarrow i}}{\pi_i \alpha_{i \rightarrow j}} & \text{je-li } \pi_j \alpha_{j \rightarrow i} < \pi_i \alpha_{i \rightarrow j} \\ 1 - \sum_{k, k \neq i} W_{i \rightarrow k} & \text{pro } i = j \end{cases}$$

$$p_{\text{přij}} = \min \left\{ 1, \frac{\alpha_{j \rightarrow i}}{\alpha_{i \rightarrow j}} \exp(-\beta \Delta U) \right\}$$

Toto rozšíření Metropolisovy metody pochází od W. K. Hastings



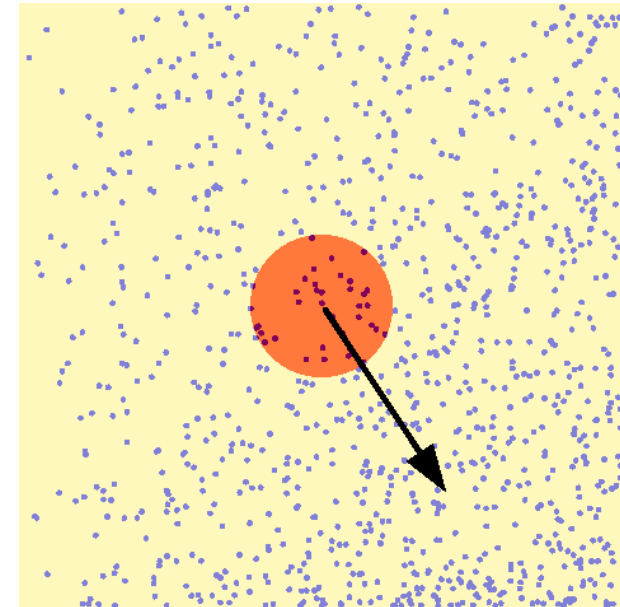
$$\alpha_{i \rightarrow j}^{\text{force bias}} = \alpha_{i \rightarrow j} \frac{\exp(\beta \lambda \vec{f}_k \cdot \Delta \vec{r})}{\int \exp(\beta \lambda \vec{f}_k \cdot \Delta \vec{r}) d\Delta \vec{r}}$$

Optimální  $\lambda = 0.5$  (mezi Metropolisem a tepelnou lázní)

Podobně:

- torque-bias (rotace)
- virial-bias (změna objemu)

$\lambda = 1$  & linearizace  $\Rightarrow$  metoda tepelné lázně



## Další triky

+

- Globální změna hustoty (vhodné blízko kritického bodu)
- Rozdělení konfigurace na klastry a pohyb klastrů
- NPT tuhých těles: místo molekul nafukuji klastry „vázaných“ (blízko sebe) částic
- Prohazování částic/molekul/skupin/klastrů

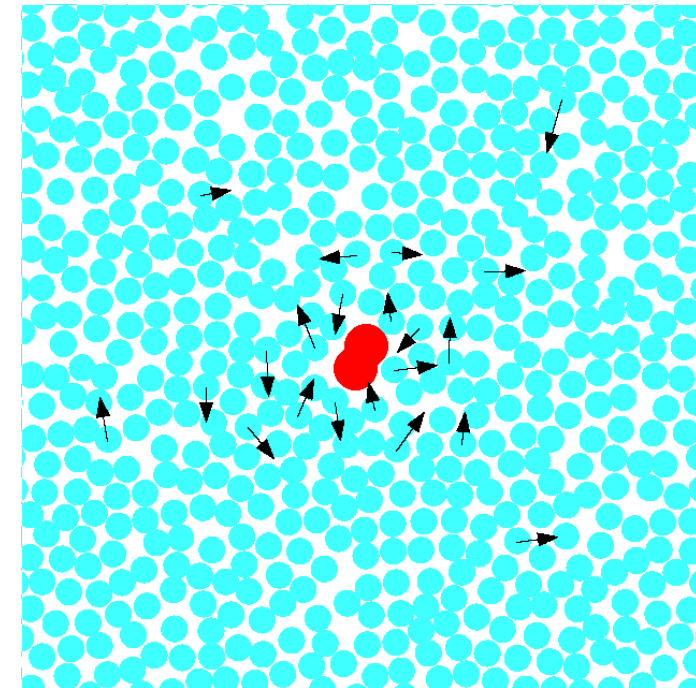
Častěji hýbeme částicemi tam, kde je to zajímavější

Příklad: okolo molekuly rozpouštěnce  $p_{\text{pref}}(r) \stackrel{\text{např.}}{=} 1/(1 + r^2/\sigma^2)$

## Verze 1:

- Zvol náhodně molekulu rozpouštědla  $i$
- Jestliže  $u_{[0,1]} < p_{\text{pref}}(|\vec{r}_i - \vec{r}_0|)$  ( $\vec{r}_0$  = rozpouštěnec)
  - Generuj novou konfiguraci  $\vec{r}_i^{\text{zk}}$
  - Přijmi ji s  $p_{\text{přij}} = \min \left\{ 1, \frac{p_{\text{pref}}(|\vec{r}_i^{\text{zk}} - \vec{r}_0|)}{p_{\text{pref}}(|\vec{r}_i - \vec{r}_0|)} \exp(-\beta \Delta U) \right\}$   
jinak je nová konfigurace stejná jako stará.

$$\alpha_{\text{pref}}(A \rightarrow A^{\text{zk}}) = \alpha(A \rightarrow A^{\text{zk}}) \frac{p_{\text{pref}}(|\vec{r}_i - \vec{r}_0|)}{N}$$



## Verze 2:

- Zvol molekulu  $i$  z rozložení  $p_{\text{pref}}(|\vec{r}_i - \vec{r}_0|)$ ,  $i = 1, \dots, N$

Optimální algoritmus s binárním prohledáváním stojí  $\propto \log N$ . Jednoduše:

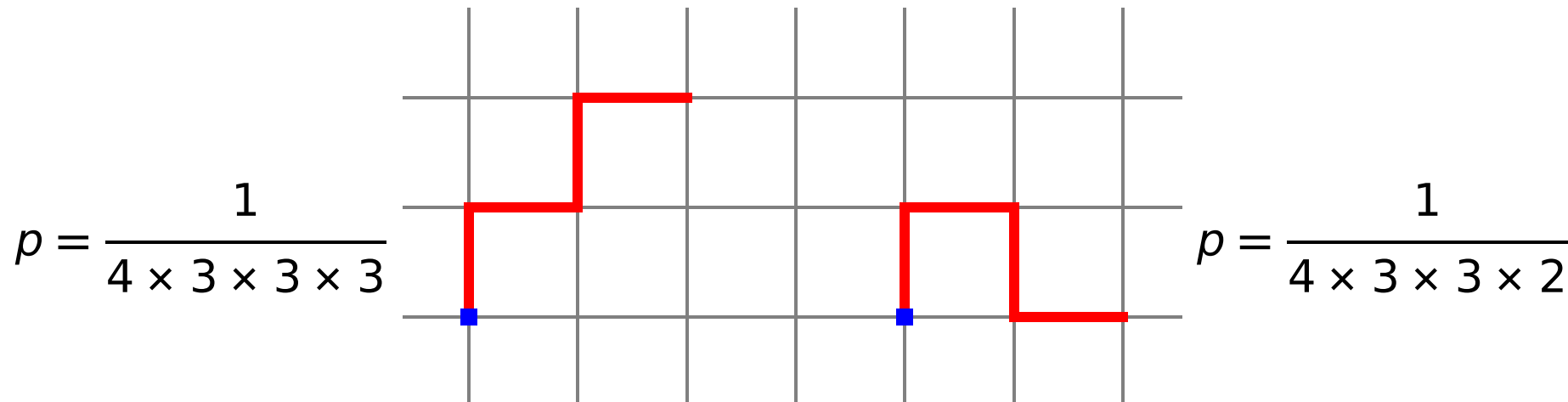
- nástřel molekuly rozpouštědla  $i$
- jestliže není  $u_{[0,1)} < p_{\text{pref}}(|\vec{r}_i - \vec{r}_0|)$ , nový nástřel
- Proved' MC krok s danou molekulou:
  - generuj novou konfiguraci  $\vec{r}_i^{\text{zk}}$
  - přijmi ji s pravděpodobností

$$p_{\text{přij}} = \min \left\{ 1, \frac{p_{\text{pref}}(|\vec{r}_i^{\text{zk}} - \vec{r}_0|)/S^{\text{zk}}}{p_{\text{pref}}(|\vec{r}_i - \vec{r}_0|)/S} \exp(-\beta \Delta U) \right\}, \quad S = \sum_{i=1}^N p_{\text{pref}}(|\vec{r}_i - \vec{r}_0|)$$

$$\alpha_{\text{pref}}(A \rightarrow A^{\text{zk}}) = \alpha(A \rightarrow A^{\text{zk}}) \frac{p_{\text{pref}}(|\vec{r}_i - \vec{r}_0|)}{S}$$

Po optimalizaci prakticky stejně efektivní

Příklad – polymer v dobrém rozpouštědle jako náhodná procházka bez protínání:



Ale oba polymery mají přispívat stejně!

Náprava: Rosenbluthova váha (faktor) kroku = počet možných pokračování =  $R_i$ , váha konfigurace získané náhodnou procházkou je:

$$R = \frac{1}{p} = \prod_{i=1}^N R_i$$

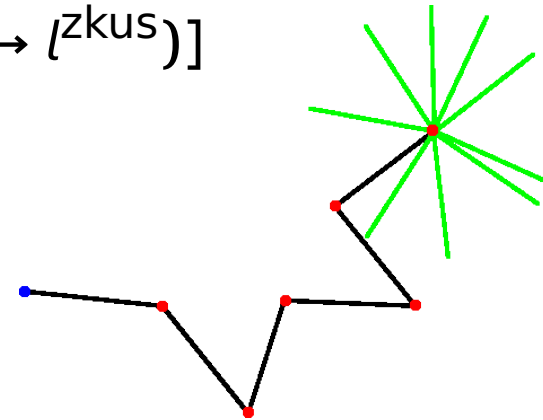
Zobecnění (pokračování vybíráme úměrně Boltzmannově pravděpodobnosti):

$$R_i = \sum_{l=1}^k \exp[-\beta U(i \rightarrow l)]$$

- Místo  $k$  možných směrů na mřížce generujeme  $k$  náhodných zkušebních konfigurací
- Vybereme jednu s pravděpodobností

$$p(i \rightarrow l^{\text{zkus}}) = \frac{\exp[-\beta U(i \rightarrow l^{\text{zkus}})]}{R_i}, \quad R_i = \sum_{l=1}^k \exp[-\beta U(i \rightarrow l^{\text{zkus}})]$$

Váha konfigurace je:  $R = \prod_{i=1}^N R_i$



## Limitní případy:

- Pro  $k = 1$  je ovšem váha  $R = \exp[-\beta \sum U(i \rightarrow l^{\text{zkus}})] = \exp(-\beta U_{\text{celk}}^{\text{zkus}})$  = Boltzmannova pravděpodobnost polymeru. To je MC integrace.
- Pro  $k \rightarrow \infty$  jsme blízko předchozí metodě, tj. výběr s Boltzmannova pravděpodobností v každém kroku (ale není to "importance sampling", tj. nedostáváme soubor řetězců vybraný z Boltzmannova rozdělení).

k zkušebních konfigurací (náhodně nebo všechny na mřížce) místo jedné, vybereme ji s pravděpodobností

$$p(\vec{r}_l^{\text{tr}}) = \frac{\exp[-\beta U(\vec{r}_l^{\text{tr}})]}{R_{\text{tr}}}, \quad R_{\text{tr}} = \sum_{l=1}^k \exp[-\beta U(\vec{r}_l^{\text{tr}})]$$

Krok přijmeme s pravděpodobností:  $\min \left\{ 1, \frac{R_{\text{tr}}}{R_{\text{old}}} \right\}$ , kde

$$R_{\text{old}} = \exp[-\beta U(\vec{r}_l^{\text{old}})] + \sum_{l=2}^k \exp[-\beta U(\vec{r}_l^{\text{old,tr}})]$$

$$R_{\text{old}} = \sum_{l=1}^k \exp[-\beta U(\vec{r}_l^{\text{old}})]$$

( $\vec{r}_l^{\text{old,tr}}$  = je stejně generovaná náhodná konfigurace)

NB: na mřížce se může stát  $R_{\text{old}} = R_{\text{tr}}$ , což je metoda tepelné lázně

Matice přechodu

$$W_{i \rightarrow j} = \begin{cases} \alpha_{i \rightarrow j} \frac{\exp[-\beta U(\vec{r}_j)]}{R_j} & \text{for } R_j > R_i \\ \alpha_{i \rightarrow j} \frac{\exp[-\beta U(\vec{r}_j)] R_j}{R_j R_i} & \text{for } R_j < R_i \end{cases}$$

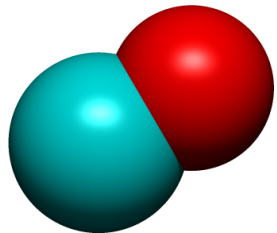
- malé molekuly (voda, methan, (benzen)) mohou být tuhé
- velké molekuly musí být flexibilní ... s výjimkou nějakých vazeb

## Vibrující vazby (klasicky):

- + jednoduchost a konzistence modelu
- + jednoduchost počítačového programu
- + realističtější popis flexibility molekul
- technické simulační potíže způsobené velkou silou vazeb (krátké zkušební posunutí v MC, krátký časový krok v MD)
- frekvence vibrací pro vazby a úhly obsahující vodíky jsou tak vysoké, že klasická mechanika pro jejich popis stejně nevyhovuje
- přenos energie mezi velmi rychlými a pomalými stupni volnosti je pomalý (pokud není použit stochastický termostat)
- flexibilní model je náročnější k teoretickému studiu

**Pevné délky vazeb:** přesně naopak

Příklad chybného algoritmu pro lineární molekulu s osou  $(\theta, \phi)$ :



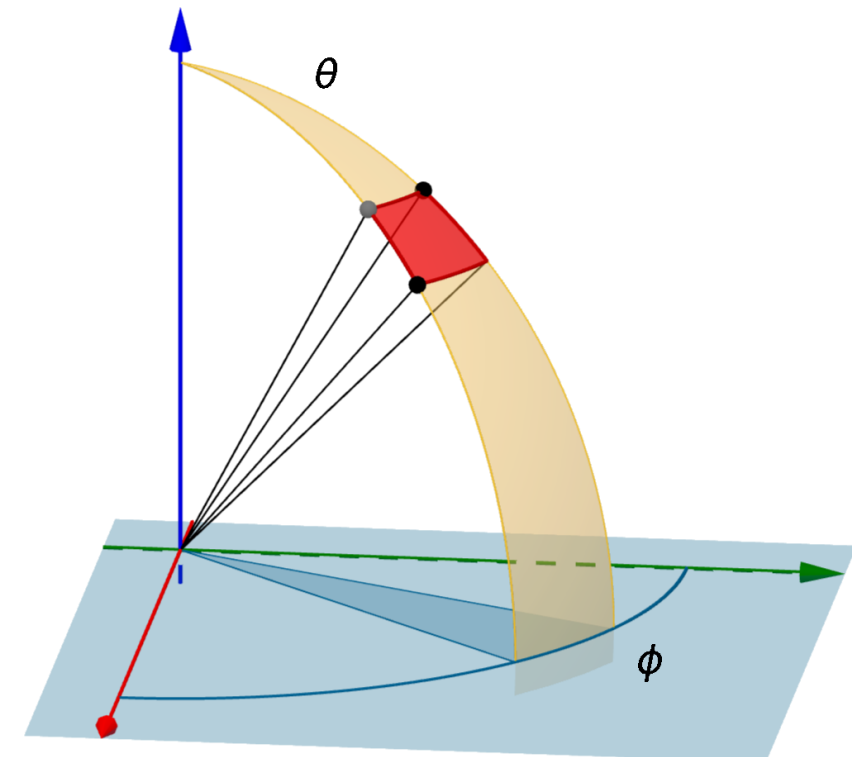
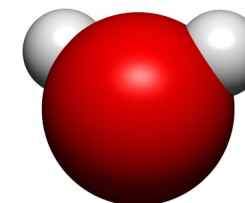
$$\begin{aligned}\theta^{\text{tr}} &= \theta + \Delta\theta u_{[-1,1]} \\ \phi^{\text{tr}} &= \phi + \Delta\phi u_{[-1,1]}\end{aligned}$$

Příklad správného algoritmu pro obecné těleso:

- zvol osu náhodně:
  - jednu z  $\hat{x}, \hat{y}, \hat{z}$  pevné vzhledem k tělesu
  - jednu z  $\hat{x}, \hat{y}, \hat{z}$  kartézských souřadnic v 3D prostoru
  - libovolný náhodný vektor
- rotuj o úhel  $\Delta\alpha u_{[-1,1]}$ , kde  $u_{[-1,1]}$  je náhodné číslo rovnoměrně rozdělené v intervalu  $[-1, 1]$

Rotace o  $\Delta\alpha$  okolo osy  $\hat{z}$ :

$$\begin{pmatrix} \cos \Delta\alpha & -\sin \Delta\alpha & 0 \\ \sin \Delta\alpha & \cos \Delta\alpha & 0 \\ 0 & 0 & 1 \end{pmatrix}$$



Kvaternion:

$$q = w + xi + yj + zk$$

$$i^2 = j^2 = k^2 = -1, \quad ij = -ji = k, \quad ijk = -1 \text{ (a cykl.)}$$

$$|q|^2 = w^2 + x^2 + y^2 + z^2$$

Množina  $\{|q| = 1, q \simeq -q\}$  je izomorfní s  $SO(3)$  (grupa rotací), což lze využít pro MC i MD.

Matice rotace:

$$\Omega = \begin{pmatrix} w^2 + x^2 - y^2 - z^2 & 2xy - 2zw & 2zx + 2yw \\ 2xy + 2zw & w^2 - x^2 + y^2 - z^2 & 2yz - 2xw \\ 2zx - 2yw & 2yz + 2xw & w^2 - x^2 - y^2 - z^2 \end{pmatrix}$$

Existují 4 algebry (nad  $\mathbb{R}$  nebo obecně polem) s dělením, které jsou zároveň normovaným vektorovým prostorem (tj.  $|xy| = |x||y|$ ): reálná čísla, komplexní čísla, kvaterniony (násobení je nekomutativní) a oktoniony (Cayleyova algebra, násobení je nekomutativní a neasociativní).

**Pole** (*field*) je „něco s operacemi  $+$   $-$   $*$  / se strukturou stejnou jako  $\mathbb{R}$ “.

**Algebra** je vektorový prostor nad polem („skalárů“), s operací  $\cdot$ , kde  $(x + y) \cdot z = x \cdot z + y \cdot z$ ,  $z \cdot (x + y) = z \cdot x + z \cdot y$ ,  $(ax) \cdot (by) = (ab)(x \cdot y)$  pro vektory  $x, y, z$  a skaláry  $a, b$ .

# MC: molekuly s vnitřními stupni volnosti

- Kartézké souřadnice → zobecněné souřadnice (potřebuji Jacobián – složité)
- Kartézké souřadnice → orthogonální souřadnice (Jacobián se nemění při jednom pohybu)
- Zamrzlé stupně volnosti (vazby)

## Polymery:

- běžné pohyby
- crankshaft move (kliková hřídel)
- reptation (píd'alkovitý pohyb) pro lineární homopolymer:  
uřízneme konec a přesuneme na začátek
  - jedna náhodná nová poloha = standardní Metropolis
  - více zkušebních poloh = configurational bias MC
- různé postupy pro zrychlené vzorkování:  
umbrella sampling, parallel tempering, Wang–Landau



Integrace pohybových rovnic pro systémy s pevnými délkami vazeb či vazebnými úhly není totožná s limitou flexibilního systému pro nekonečně velké silové konstanty

## Fixujeme:

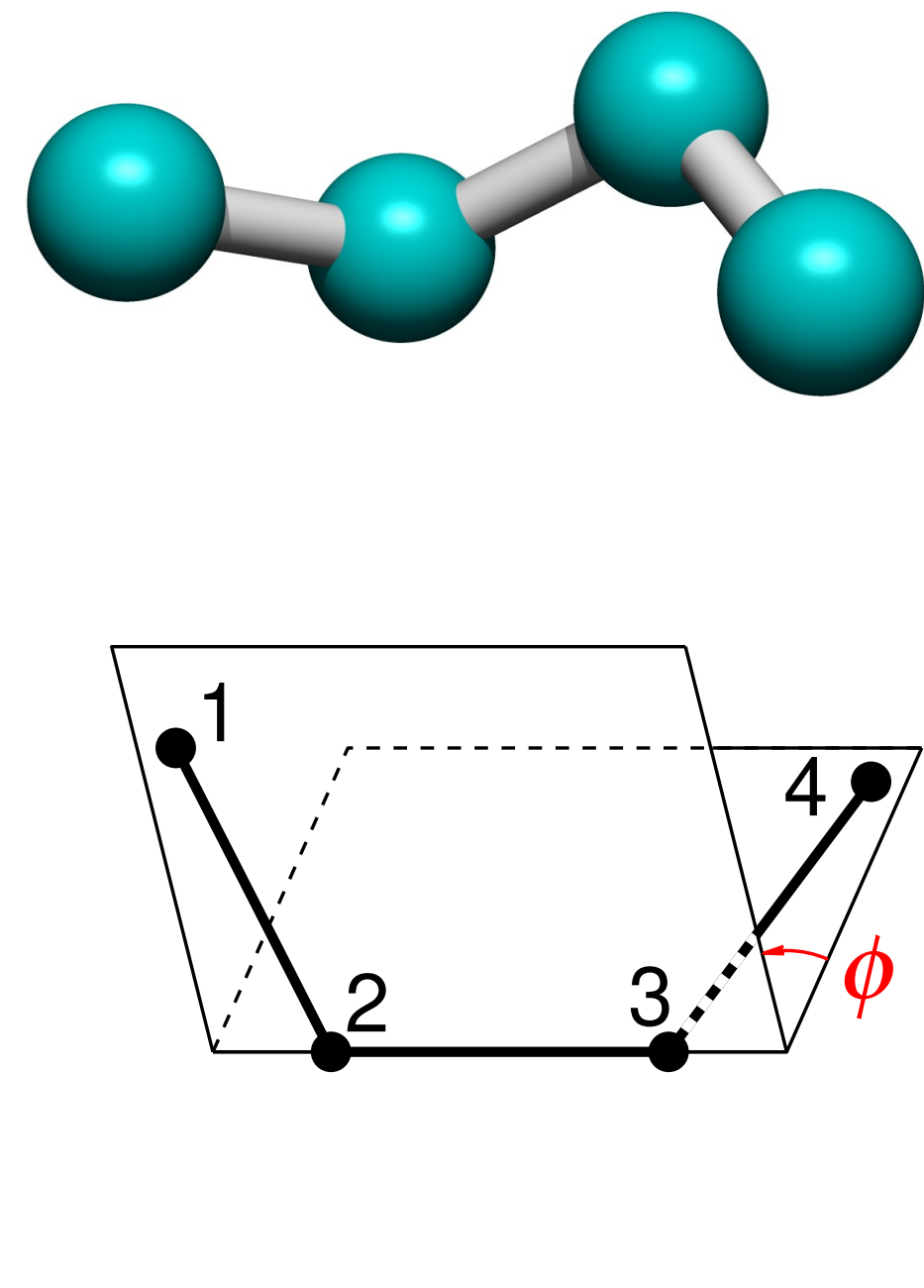
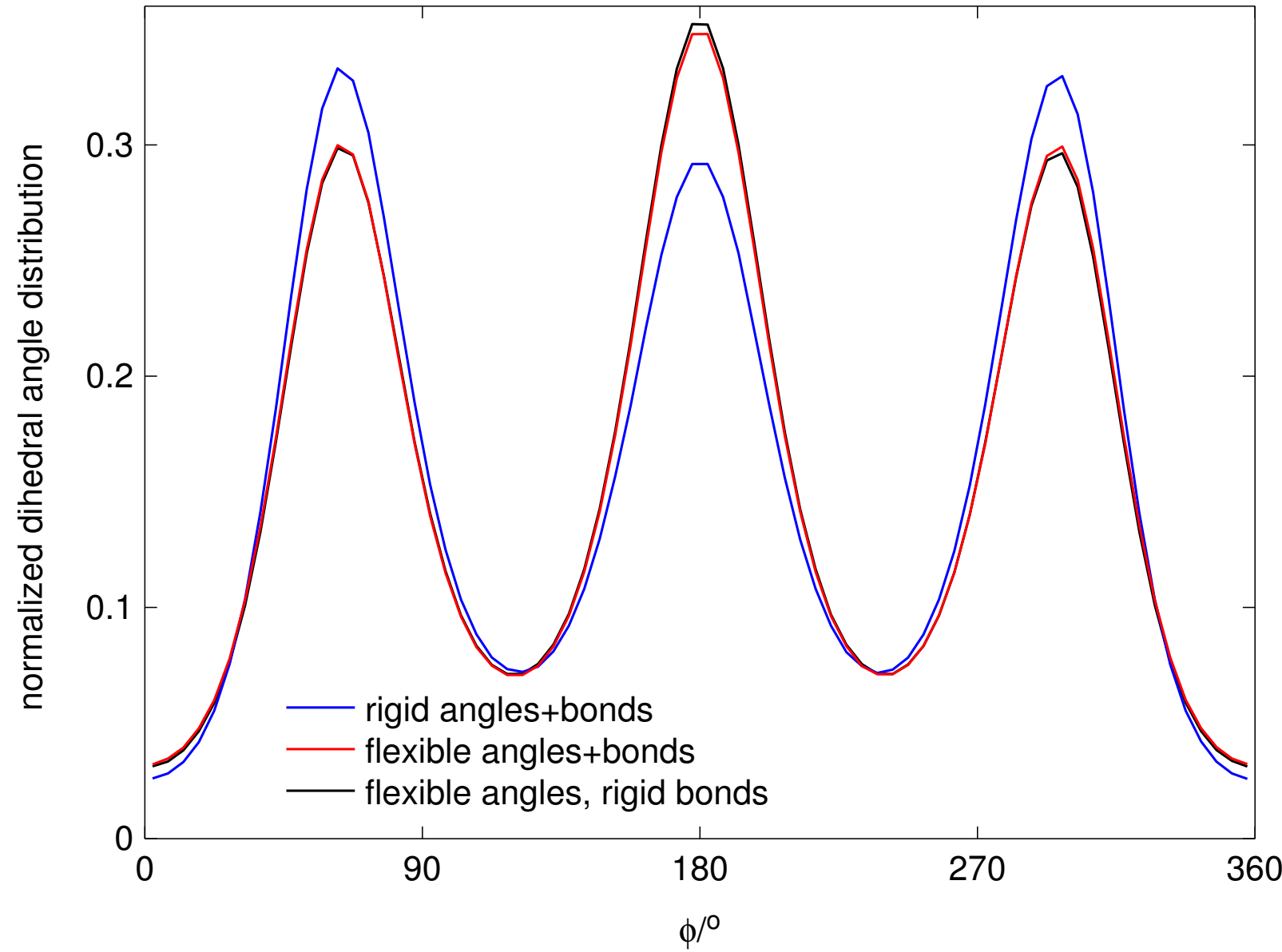
- nic – krátký časový krok, špatná konvergence různých stupňů volnosti (*equipartition*)
- pouze vazby s H – lze delší krok, lepší (ale ne ideální) konvergence  
GROMACS: speciální algoritmus pro H,  $h = 4$  ps
- všechny vazby – větší systematické chyby, horší pro těžší atomy, nelze pro rigidní geometrie (fulereny)
- všechny vazby + úhly s vodíky – levné a méně přesné, delší krok, dobrá konvergence
- všechny vazby + všechny úhly – ŠPATNĚ kromě velmi malých molekul

## Metody:

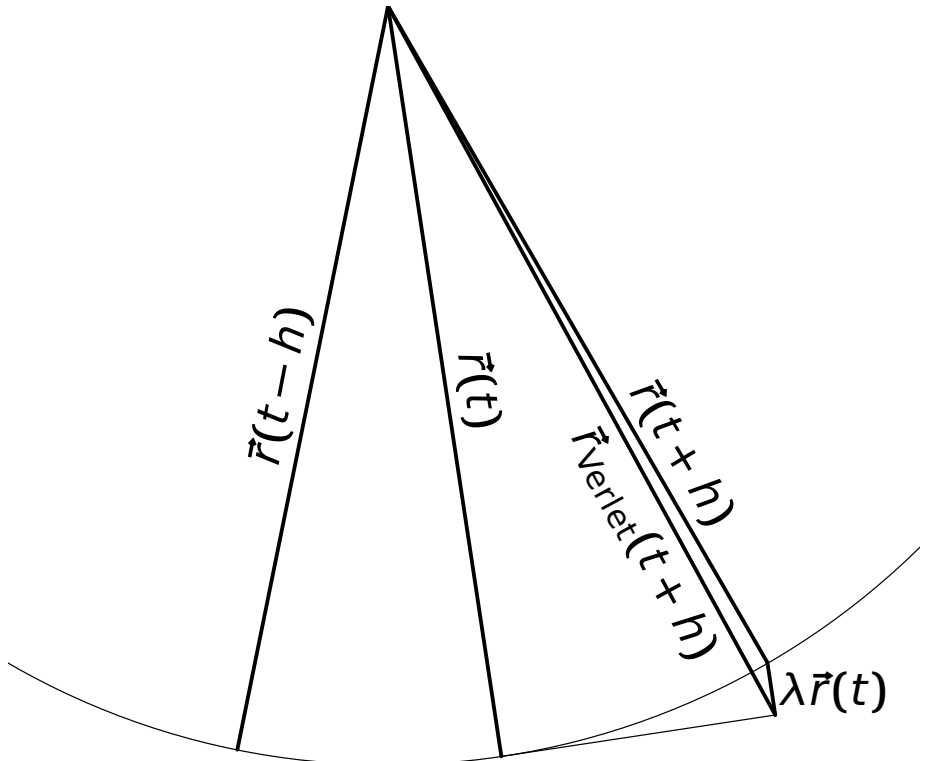
- SHAKE (+Verlet)
- Lagrangian constraint dynamics

# Rozdělení diedrického úhlu pro butan

United-atom model (CHARMM19) butanu



## Matematické kyvadlo:



$$\begin{aligned}\vec{r}(t+h) &= \vec{r}_{\text{Verlet}}(t+h) - \frac{h^2}{m} \vec{f}_c(t) \\ &= 2\vec{r}(t) - \vec{r}(t-h) + h^2 \frac{\vec{f}(t) - \vec{f}_c(t)}{m} \\ \frac{h^2 \vec{f}_c(t)}{m} &= \lambda \vec{r}(t)\end{aligned}$$

$$|\vec{r}(t+h)|^2 = |\vec{r}(t)|^2 = l^2$$

$$[\vec{r}_{\text{Verlet}}(t+h) - \lambda \vec{r}(t)]^2 = \vec{r}(t)^2$$

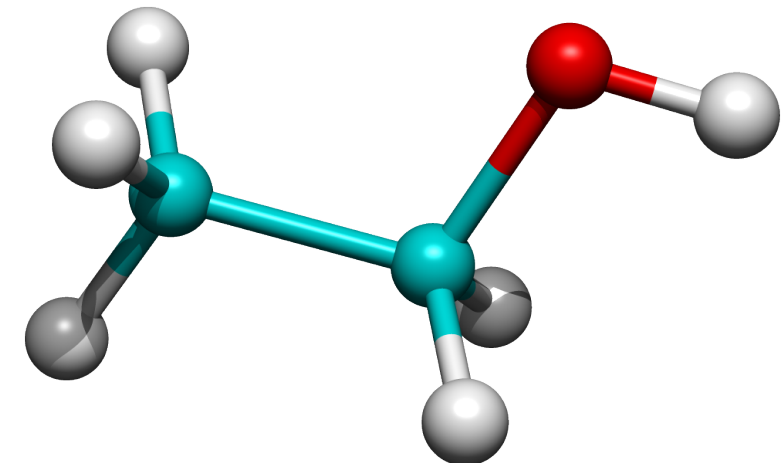
$$\vec{r}_{\text{Verlet}}(t+h)^2 - 2\lambda \vec{r}_{\text{Verlet}}(t+h) \cdot \vec{r}(t) + \lambda^2 \vec{r}(t)^2 = \vec{r}(t)^2$$

$$\lambda \approx \frac{|\vec{r}_{\text{Verlet}}(t+h)|^2 - |\vec{r}(t)|^2}{2\vec{r}_{\text{Verlet}}(t+h) \cdot \vec{r}(t)} = \frac{|\vec{r}_{\text{Verlet}}(t+h)|^2 - l^2}{2\vec{r}_{\text{Verlet}}(t+h) \cdot \vec{r}(t)} \approx \frac{|\vec{r}_{\text{Verlet}}(t+h)|^2 - l^2}{2l^2}$$

**Obecná vazba:**

$$\vec{r}_i(t+h) = \vec{r}_{\text{Verlet},i}(t+h) + \lambda \frac{1/m_i}{1/m_i + 1/m_j} \vec{r}_{ij}$$

$$\vec{r}_j(t+h) = \vec{r}_{\text{Verlet},j}(t+h) - \lambda \frac{1/m_j}{1/m_i + 1/m_j} \vec{r}_{ij}$$



kde

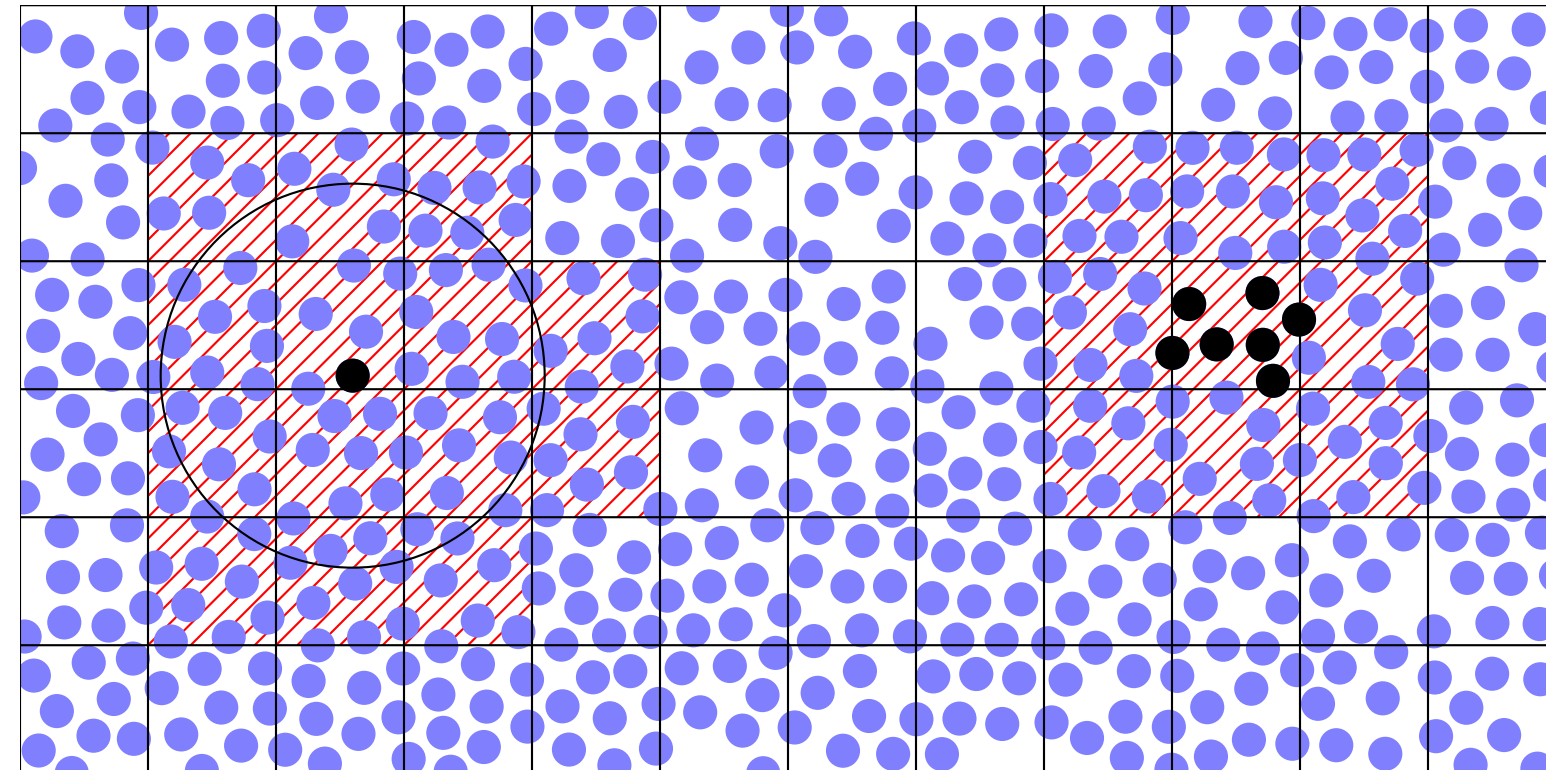
$$\lambda \approx \frac{|\vec{r}_{\text{Verlet},ij}(t+h)|^2 - l^2}{2\vec{r}_{\text{Verlet},ij}(t+h) \cdot \vec{r}_{ij}(t)} \approx \frac{|\vec{r}_{\text{Verlet},ij}(t+h)|^2 - l^2}{2l^2}$$

- Založeno na Verletově metodě
- Zachovává se těžiště (integrál pohybu)!
- Složitá molekula: iteruje se, dokud nezkonverguje
- Zrychlení: superrelaxace
- Rychlostní verze: RATTLE (více variant)
- Pro  $m_i = \infty$ ,  $\vec{r}_i = (0, 0, 0)$ ,  $\vec{r} = \vec{r}_j = \vec{r}_{ij}$  přejde na matematické kyvadlo

$$\vec{r}_{ij} = \vec{r}_j - \vec{r}_i, \quad r_{ij} = |\vec{r}_{ij}|$$

Pro krátkodosahové párové potenciály (nebo Ewald r-space):

- všechny páry ( $N < 300$ )
- seznam sousedů (neighbor list) – ( $N \approx 1000$ )
- *domain decomposition* metody jako metoda zřetězených seznamů (*linked-cell list method*)  
( $N > 1000$ )



## Pár triků:

- MD: metody několikanásobného kroku (multiple timestep MD)
- MC: multimoves (blízko kritického bodu – critical slowing-down)
- MC: výměna identity částic, neboltzmannovské vzorkování, ...
- hybrid MC/MD (nic moc)

## Programátorské triky:

- cache
- výpočet nejbližších sousedů v periodických okrajových podmínkách
- tabulky potenciálu (spliny) – cache/délka problém

## Paralelní kód:

- obvykle založen na „domain decomposition“ (linked-cell list)
- standardní počítače: 8+ jader, hyperthreading (neužitečné pro malé systémy)
- Graphics Processing Units (GPU): tisíce procesorů, složitější k programování